

เครื่องให้ความร้อนแบบเหนี่ยวนำขนาด 4.2 kVA สำหรับให้ความร้อนเบื้องต้นแก่ลวดตัวนำ
อะลูมิเนียมตีเกลียว



นายสุระพล เขียวมนตรี

วิทยานิพนธ์นี้เป็นส่วนหนึ่งของการศึกษาตามหลักสูตรปริญญาวิศวกรรมศาสตรมหาบัณฑิต

ภาควิชาวิศวกรรมไฟฟ้า

บัณฑิตวิทยาลัย จุฬาลงกรณ์มหาวิทยาลัย

พ.ศ.2538

ISBN 974-631-304-5

ลิขสิทธิ์ของบัณฑิตวิทยาลัย จุฬาลงกรณ์มหาวิทยาลัย

I16895381

A 4.2 kVA INDUCTION HEATER FOR ALUMINIUM STRAND CONDUCTOR
PRE-HEATING




MR. SURAPON THIENMONTREE

A Thesis Submitted in Partial Fulfillment of the Requirements
for the Degree of Master of Engineering
Department of Electrical Engineering
Graduate School
Chulalongkorn University
1995
ISBN 974-631-304-5

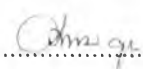
หัวข้อวิทยานิพนธ์ เครื่องให้ความร้อนแบบเหนี่ยวนำขนาด 4.2 kVA สำหรับให้ความร้อน
เบื้องต้นแก่ลวดตัวนำอะลูมิเนียมตีเกลียว
โดย นายสุระพล เรียบรมนตรี
ภาควิชา วิศวกรรมไฟฟ้า
อาจารย์ที่ปรึกษา ผู้ช่วยศาสตราจารย์ ดร.ยุทธนา กุลวิฑิต





บัณฑิตวิทยาลัย จุฬาลงกรณ์มหาวิทยาลัย อนุมัติให้หัวข้อวิทยานิพนธ์ฉบับนี้เป็นส่วนหนึ่ง
ของการศึกษาตามหลักสูตรปริญญาโทบริหารศึกษาศาสตร์

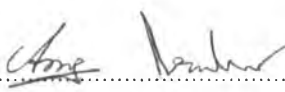

.....คณบดีบัณฑิตวิทยาลัย
(รองศาสตราจารย์ ดร.สันติ จงสุวรรณ)

คณะกรรมการสอบวิทยานิพนธ์


.....ประธานกรรมการ
(รองศาสตราจารย์ ดร.โคทม อาริยา)


.....อาจารย์ที่ปรึกษา
(ผู้ช่วยศาสตราจารย์ ดร.ยุทธนา กุลวิฑิต)


.....กรรมการ
(ดร.สมบุรณ์ แสงวงศ์วัฒน์)


.....กรรมการ
(อาจารย์ เจ็ดกุล โสภานิตย์)



พิมพ์ต้นฉบับบทคัดย่อวิทยานิพนธ์ภายในกรอบสี่เหลี่ยมนี้เพียงแผ่นเดียว

สรุปผล เจริมนครี : เครื่องให้ความร้อนแบบเหนี่ยวนำขนาด 4.2 kVA สำหรับให้ความร้อนเบื้องต้นแก่ลวดตัวนำอะลูมิเนียมชนิดเกลียว (A 4.2 kVA INDUCTION HEATER FOR ALUMINIUM STRAND CONDUCTOR PRE-HEATING) อ.ที่ปรึกษา : ผศ.ดร.ยุทธนา กุลวิทิต , 131 หน้า . ISBN 974-631-304-5

บทความนำเสนอการออกแบบและสร้างเครื่องให้ความร้อนแบบเหนี่ยวนำขนาด 4.2 กิโลวัตต์แอมแปร์ สำหรับให้ความร้อนเบื้องต้นแก่ลวดตัวนำอะลูมิเนียมชนิดเกลียวขนาดเส้นผ่าศูนย์กลาง 15 มม. ให้มีอุณหภูมิสูงขึ้นประมาณ 60 องศาเซลเซียสจากอุณหภูมิห้อง ในเวลา 6 วินาที ที่กำลังออกสูงสุด สำหรับใช้ในขบวนการเคลือบฉนวนสายไฟฟ้า วงจรอินเวอร์เตอร์เป็นวงจรกึ่งตัวนำแบบกึ่งบริดจ์ที่ใช้ทรานซิสเตอร์กำลังเป็นสวิตช์ ออกแบบให้ทำงานแบบกึ่งตัวนำในภาคการสวิตช์แรงดันศูนย์ ซึ่งจะเป็นการลดกำลังสูญเสียในการสวิตช์ วงจรควบคุมได้รับการออกแบบให้สามารถรับกำลังออกที่ขึ้นงานได้ โดยการปรับความถี่ในพิสัย 19.5 - 22.5 กิโลเฮิรตซ์ ซึ่งทำให้สามารถรับค่ากำลังออกได้ในช่วง 100 - 30 เฮอร์เซนส์ กำลังออกที่ขึ้นงานสูงสุดเท่ากับ 1,281 วัตต์ ประสิทธิภาพของขดลวดเหนี่ยวนำมีค่าเท่ากับ 64 เฮอร์เซนส์ ค่าตัวประกอบกำลังของไหลคของวงจรอินเวอร์เตอร์มีค่าเท่ากับ 0.54 ประสิทธิภาพของวงจรอินเวอร์เตอร์มีค่าเท่ากับ 95 เฮอร์เซนส์ ค่าตัวประกอบกำลังด้านเข้าของเครื่องมีค่าเท่ากับ 0.66 ประสิทธิภาพรวมของเครื่องมีค่าเท่ากับ 54 เฮอร์เซนส์

ภาควิชา.....วิศวกรรมไฟฟ้า
สาขาวิชา.....วิศวกรรมไฟฟ้า
ปีการศึกษา.....2537.....

ลายมือชื่อนิสิต.....
ลายมือชื่ออาจารย์ที่ปรึกษา.....
ลายมือชื่ออาจารย์ที่ปรึกษาร่วม.....

C415574 : MAJOR ELECTRICAL ENGINEERING

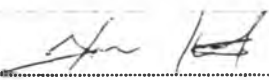
KEYWORD: INDUCTION HEATER / HALF BRIDGE / ZERO VOLTAGE RESONANT SWITCH
SURAPON THIENMONTREE : A 4.2 kVA INDUCTION HEATER FOR ALUMINIUM
STRAND CONDUCTOR PRE-HEATING. THESIS ADVISOR : ASST.PROF..
YOUTHANA KULVITIT, Dr. Ing. 131 pp. ISBN 974-631-304-5

The design approach and test results of a 4.2 kVA induction heater are presented. The equipment can be used to raise the temperature of aluminium strand conductor by 60 °C above room temperature in 6 seconds for maximum output power. This heating procedure is required for insulation coating process of the aluminium strand. The diameter of the strand in this experiment is 15 mm. The inverter of this induction heater is implemented by the Half-Bridge Series Resonance Converter using power transistors as its switching devices. The switching loss is minimized by operating the transistors in the zero voltage switch resonant mode. The output power of the system can be controlled by varying the operating frequency of inverter. The control of the output power within the range of 100 - 30 % has been achieved by varying the operating frequencies from 19.5 to 22.5 kHz. The maximum output power transferred to the strand is 1,281 watts. The efficiency of the induction coil is 64%. The power factor of the load driven by the inverter is 0.54. The efficiency of the inverter circuit is 95 %. The input power factor of the system is 0.66. Total efficiency of the system is 54 %.

ภาควิชา.....วิศวกรรมไฟฟ้า

สาขาวิชา.....วิศวกรรมไฟฟ้า

ปีการศึกษา..... 2537

ลายมือชื่อนิติ..... 

ลายมือชื่ออาจารย์ที่ปรึกษา..... 

ลายมือชื่ออาจารย์ที่ปรึกษาร่วม.....

กิตติกรรมประกาศ



๑

วิทยานิพนธ์ฉบับนี้สำเร็จได้ ด้วยความช่วยเหลือจาก ผู้ช่วยศาสตราจารย์ ดร. ยุทธนา กุลวิฑิต ที่ได้ให้คำแนะนำที่เป็นประโยชน์และเป็นอาจารย์ที่ปรึกษาซึ่งท่านได้ให้การแนะนำและข้อคิดเห็นต่าง ๆ ของการวิจัยมาด้วยดีตลอด อีกทั้งรองศาสตราจารย์ ดร. โคทม อารียา อาจารย์เจิดกุล โสภานิตย์ ดร. สมบูรณ์ แสงวงศ์วานิช ที่ได้ให้คำปรึกษาและแนะนำ ความรู้ที่เป็นประโยชน์ต่อวิทยานิพนธ์ ข้าพเจ้าจึงใคร่ขอกราบขอบพระคุณคณาจารย์ทุกท่าน ที่ได้กล่าวมาข้างต้น นอกจากนี้ข้าพเจ้าใคร่ขอขอบคุณ คุณสมศรี เมืองชนะ และนิสิตปริญญาโทห้องปฏิบัติการอิเล็กทรอนิกส์กำลังทุกท่าน

สุดท้ายนี้ ข้าพเจ้าใคร่ขอกราบขอบพระคุณ บิดา มารดา และพี่ชาย ซึ่งให้การสนับสนุนและให้กำลังใจแก่ข้าพเจ้าเสมอมาจนสำเร็จการศึกษา

สุระพล เรียบมนตรี



บทคัดย่อภาษาไทย.....	ง
บทคัดย่อภาษาอังกฤษ.....	จ
กิตติกรรมประกาศ.....	ฉ
สารบัญตาราง.....	ช
สารบัญภาพ.....	ฅ
บทที่ 1 บทนำ	
ความเบื้องต้น.....	1
วัตถุประสงค์ของการวิจัย.....	3
ขอบเขตและข้อกำหนดการวิจัย.....	3
ขั้นตอนและวิธีการดำเนินงาน.....	4
ประโยชน์ที่ได้จากการวิจัย.....	4
บทที่ 2 การให้ความร้อนแบบเหนียวนำ	
บทนำ.....	5
ทฤษฎีเบื้องต้นของการให้ความร้อนแบบเหนียวนำ.....	11
ความสัมพันธ์ระหว่างอุณหภูมิกับคุณสมบัติของชิ้นงาน.....	29
การเลือกความถี่ที่ใช้ในเครื่องให้ความร้อนแบบเหนียวนำ.....	32
วงจรสมมูลของขดลวดเหนียวนำและการออกแบบ.....	34
บทที่ 3 โครงสร้างและการออกแบบเครื่องให้ความร้อนแบบเหนียวนำ	
โครงสร้างของเครื่องให้ความร้อนแบบเหนียวนำ.....	47
การวิเคราะห์และออกแบบวงจรภาคกำลัง.....	51
การออกแบบและสร้างอุปกรณ์.....	77
บทที่ 4 การทดสอบเครื่องให้ความร้อนแบบเหนียวนำ	
การทดสอบทางไฟฟ้า.....	96
การทดสอบด้านความร้อน.....	120
บทที่ 5 ข้อสรุปและข้อเสนอแนะ	
ข้อสรุปในการวิจัย.....	121
ปัญหาและข้อเสนอในการปรับปรุง.....	124
รายการอ้างอิง.....	125
ภาคผนวก.....	127
ประวัติผู้เขียน.....	131

สารบัญตาราง

ตารางที่	หน้า
2.1 แสดงค่าสภาพความต้านทาน และค่าสัมประสิทธิ์ ของโลหะชนิดต่าง ๆ ที่อุณหภูมิ 20 องศาเซลเซียส.....	30
2.2 การเลือกความถี่ในการใช้งานสำหรับความถี่ผิวและเส้นผ่าศูนย์กลางของชิ้นงานที่ค่าต่าง ๆ	33
2.3 แสดงค่าพารามิเตอร์ต่าง ๆ ของขดลวดเหนี่ยวนำที่ได้จากการวัดทั้งในกรณีที่ไม่มีชิ้นงานและมีชิ้นงานเป็นลวดตัวนำอะลูมิเนียมตีเกลียว.....	42
3.1 แสดงค่าพารามิเตอร์ต่าง ๆ ของแกนหม้อแปลง.....	85
4.1 แสดงค่ากำลังปรากฏ กำลังเฉลี่ยและตัวประกอบกำลังด้านเข้าของเครื่อง.....	116
4.2 แสดงค่ากำลังออกและประสิทธิภาพของวงจรเรียงกระแส.....	117
4.3 แสดงค่ากำลังปรากฏ กำลังออก ค่าตัวประกอบกำลัง ประสิทธิภาพของอินเวอร์เตอร์ กำลังออกและประสิทธิภาพของหม้อแปลงความถี่สูง.....	118
4.4 แสดงค่ากำลังที่ชิ้นงาน ขดลวดเหนี่ยวนำ ตัวเก็บประจุเพียงค่าตัวประกอบกำลัง ประสิทธิภาพของขดลวดเหนี่ยวนำและประสิทธิภาพรวมของเครื่อง.....	119
4.5 แสดงค่าอุณหภูมิของลวดตัวนำอะลูมิเนียมตีเกลียวขนาดเส้นผ่าศูนย์กลาง 15 มม. ที่เวลาต่าง ๆ (°C).....	120

สารบัญภาพ

รูปที่	หน้า
2.1 แสดงการให้ความร้อนแบบเหนียวอย่างง่าย.....	5
2.2 แสดงวงจรสมมูลของหม้อแปลงทั่วไป.....	6
2.3 แสดงวงจรสมมูลของขดลวดเหนียวเข้ากับชิ้นงาน.....	6
2.4 แสดงทิศทางการไหลของกระแสที่ผิว.....	8
2.5 แสดงแผ่นค้ำของชิ้นงาน.....	8
2.6 แสดงความสัมพันธ์ระหว่างความหนาแน่นกระแสกับระยะทางจากผิวของชิ้นงาน.....	8
2.7 แสดงประเภทและลักษณะการใช้งานของเครื่องให้ความร้อนแบบเหนียวในย่านความถี่ต่าง ๆ	9
2.8 แสดงการให้ความร้อนแบบเหนียวกับชิ้นงานลักษณะอุดมคติ.....	11
2.9 แสดงความสัมพันธ์ระหว่างความเข้มสนามแม่เหล็กกับระยะจากผิวชิ้นงาน.....	15
2.10 แสดงความสัมพันธ์ระหว่างการสูญเสียต่อพื้นที่กับระยะจากผิวชิ้นงาน.....	21
2.11 เฟสเซอร์โคอะแกรมแสดงความสัมพันธ์ระหว่างความเข้มสนามแม่เหล็กกับแรงดันในกรณีที่ขดลวดเหนียวเป็นแบบอุดมคติ.....	22
2.12 เฟสเซอร์โคอะแกรมแสดงความสัมพันธ์ระหว่างความเข้มสนามแม่เหล็กกับแรงดันในกรณีที่ขดลวดเหนียวไม่อุดมคติ	23
2.13 แสดงแบบจำลองวงจรสมมูลของขดลวดเหนียวเข้ากับชิ้นงาน.....	23
2.14 การกระจายความหนาแน่นกระแสในการเหนียวความร้อนของชิ้นงานทรงกระบอกตัน	25
2.15 แสดงความสัมพันธ์ระหว่าง p และ q กับ $\frac{d}{\delta}$	27
2.16 เฟสเซอร์โคอะแกรมของปริมาณต่าง ๆ	29
2.17 แสดงความสัมพันธ์ระหว่างค่าสภาพความต้านทานกับอุณหภูมิ.....	31
2.18 ความสัมพันธ์ระหว่างระยะเวลาในการให้ความร้อน ความหนาแน่นกำลังงานต่อพื้นที่ผิวและความลึกผิวโดยมีความถี่เป็นพารามิเตอร์.....	33

สารบัญภาพ (ต่อ)

รูปที่	หน้า
2.19 แสดงฟลักซ์สนามแม่เหล็กที่คล้อยผ่านชิ้นงานกับขดลวดเหนี่ยวนำและเฟสเซอร์ไคอะแกรมของระบบ	34
2.20 วงจรสมมูลทางแม่เหล็ก	37
2.21 วงจรสมมูลทางไฟฟ้า	37
2.22 แสดงวงจรสมมูลทางไฟฟ้าของขดลวดเหนี่ยวนำ (ไม่มีโหลด)	40
2.23 แสดงขดลวดเหนี่ยวนำที่ออกแบบ.....	41
2.24 แสดงค่าความต้านทานและค่าความเหนี่ยวนำของขดลวดเหนี่ยวนำที่ใช้ท่อทองแดงตัน ซึ่งได้จากการคำนวณทางทฤษฎีในช่วงความถี่ระหว่าง 1 กิโลเฮิร์ตซ์ ถึง 100 กิโลเฮิร์ตซ์ ในกรณีที่ไม่มีชิ้นงาน.....	43
2.25 แสดงค่าความต้านทานและค่าความเหนี่ยวนำของขดลวดเหนี่ยวนำที่ใช้ท่อทองแดงกลวงซึ่งได้จากการวัดที่ ความถี่ระหว่าง 1 กิโลเฮิร์ตซ์ ถึง 100 กิโลเฮิร์ตซ์ ในกรณีที่ไม่มีชิ้นงาน	43
2.26 แสดงค่าความต้านทานและค่าความเหนี่ยวนำของขดลวดเหนี่ยวนำที่ใช้ท่อทองแดงตัน ซึ่งได้จากการคำนวณทางทฤษฎี ที่ความถี่ระหว่าง 1 กิโลเฮิร์ตซ์ ถึง 100 กิโลเฮิร์ตซ์ ในกรณีที่ชิ้นงานเป็นลวดตัวนำอะลูมิเนียมตันขนาดเส้นผ่าศูนย์กลาง 15 มิลลิเมตร.....	44
2.27 แสดงค่าความต้านทานและค่าความเหนี่ยวนำของขดลวดเหนี่ยวนำที่ใช้ท่อทองแดงกลวงซึ่งได้จากการวัด ที่ความถี่ระหว่าง 1 กิโลเฮิร์ตซ์ ถึง 100 กิโลเฮิร์ตซ์ ในกรณีที่ชิ้นงานเป็นแท่งอะลูมิเนียมที่ได้จากการใช้อะลูมิเนียมดีเกลือว ขนาดเส้นผ่าศูนย์กลาง 15 มิลลิเมตร.....	45
2.28 แสดงประสิทธิภาพและตัวประกอบกำลังของขดลวดเหนี่ยวนำที่มีชิ้นงานเป็นลวดอะลูมิเนียมตัน ที่ได้จากการคำนวณทางทฤษฎี ที่ความถี่ระหว่าง 1 กิโลเฮิร์ตซ์ ถึง 100 กิโลเฮิร์ตซ์	46
2.29 แสดงประสิทธิภาพและตัวประกอบกำลังของขดลวดเหนี่ยวนำที่มีชิ้นงานเป็นลวดตัวนำอะลูมิเนียมดีเกลือวที่ได้จากการวัด ที่ความถี่ระหว่าง 1 กิโลเฮิร์ตซ์ ถึง 100 กิโลเฮิร์ตซ์.....	46
3.1 บล็อกไคอะแกรมแสดงส่วนประกอบของเครื่องให้ความร้อนแบบเหนี่ยวนำ.....	47

สารบัญภาพ (ต่อ)

รูปที่	หน้า
3.2 วงจรสมมูลของโหลดของอินเวอร์เตอร์ที่ความถี่ 20 กิโลเฮิรตซ์.....	52
3.3 วงจรภาคกำลังของเครื่องให้ความร้อนแบบเหนี่ยวนำ.....	53
3.4 ผลตอบเชิงความถี่ของกระแสและแรงดันของขดลวดเหนี่ยวนำที่มีลวดตัวนำอะลูมิเนียมตีเกลียวเป็นชิ้นงาน สำหรับกรณีที่แรงดันออกของอินเวอร์เตอร์ มีรูปคลื่นเป็นไซน์ ที่มีค่ายอด 337 โวลต์	53
3.5 ผลตอบเชิงความถี่ของขนาดและเฟสของกระแสออกของอินเวอร์เตอร์เทียบกับแรงดันออกของอินเวอร์เตอร์.....	54
3.6 รูปคลื่นของกระแสและแรงดันของขดลวดเหนี่ยวนำที่มีลวดตัวนำอะลูมิเนียมตีเกลียวขนาดเส้นผ่าศูนย์กลาง 15 มิลลิเมตร เป็นชิ้นงานเมื่อแรงดันออกของอินเวอร์เตอร์มีค่ายอด 260 โวลต์	56
3.7 รูปคลื่นของกระแสและแรงดันของตัวเก็บประจุที่ใช้ในการเพิ่มค่าตัวประกอบกำลังของโหลด โดยมีเงื่อนไขเดียวกับรูปที่ 3.6	56
3.8 รูปคลื่นของกระแสและแรงดันด้านทุติยภูมิของหม้อแปลงปรับระดับแรงดัน โดยมีเงื่อนไขเดียวกับรูปที่ 3.6.....	57
3.9 แสดงรูปคลื่นของกระแสและแรงดันด้านปฐมภูมิของหม้อแปลงปรับระดับแรงดัน โดยมีเงื่อนไขเดียวกับรูปที่ 3.6	58
3.10 แสดงวงจรอินเวอร์เตอร์แบบกึ่งบริดจ์.....	59
3.11 แสดงรูปกระแสและแรงดันออกของวงจรอินเวอร์เตอร์.....	60
3.12 แสดงช่วงเวลาการนำกระแสและแรงดันคร่อมทรานซิสเตอร์ Q_1	60
3.13 แสดงช่วงเวลาที่กระแสไหลผ่านตัวเก็บประจุและแรงดันคร่อมตัวเก็บประจุที่ใช้เป็นสแน็บเบอร์.....	61
3.14 แสดงช่วงเวลาการนำกระแสและแรงดันคร่อมไดโอด D_2	61
3.15 แสดงช่วงเวลาการนำกระแสและแรงดันคร่อมทรานซิสเตอร์ Q_2	62
3.16 แสดงช่วงเวลาการนำกระแสและแรงดันคร่อมไดโอด D_1	62
3.17 วงจรกำเนิดสัญญาณให้พจนานุกรมการทำงานของวงจร.....	65
3.18 แสดงวงจรขับนำเบสที่ใช้ขับนำทรานซิสเตอร์แต่ละตัว.....	66
3.19 วงจรเรียงกระแสแบบบริดจ์ 3 เฟส.....	70
3.20 การคายประจุของตัวเก็บประจุ.....	72

สารบัญภาพ (ต่อ)

รูปที่	หน้า
3.21 วงจรที่ใช้ในการชิมูเลตด้วยโปรแกรมวิเคราะห์วงจรไฟฟ้าเพื่อ หาค่ากระแสผ่านไดโอด.....	74
3.22 รูปคลื่นของกระแสออกของวงจรเรียงกระแสและแรงดันออก ของวงจรเปลี่ยนไฟฟ้ากระแสสลับเป็นไฟฟ้ากระแสตรง.....	75
3.23 รูปคลื่นของกระแสไดโอดและแรงดันออกของวงจรเปลี่ยน ไฟฟ้ากระแสสลับเป็นไฟฟ้ากระแสตรง.....	75
3.24 แสดงกระแสกระชากของไดโอดและแรงดันออกของวงจรเปลี่ยน ไฟฟ้ากระแสสลับเป็นไฟฟ้ากระแสตรงในขณะที่เปิดเครื่อง.....	76
3.25 แสดงกระแสกระชากของไดโอดและแรงดันออกของวงจรเปลี่ยน ไฟฟ้ากระแสสลับเป็นไฟฟ้ากระแสตรงในขณะที่เปิดเครื่อง เมื่อ ต่อความต้านทานขนาด 5 โอห์ม คั่นระหว่างวงจรเรียงกระแส กับตัวเก็บประจุของวงจรกรอง.....	77
3.26 กราฟพิกัดแรงดันอาร์เอ็มเอสกับความถี่ของตัวเก็บประจุแต่ละขนาด.....	79
3.27 a) การต่อตัวเก็บประจุแบบใช้ลวดทองแดงธรรมดา.....	80
b) วงจรสมมูลทางไฟฟ้าของตัวเก็บประจุและลวดเหนี่ยวนำ.....	80
3.28 พลิกซ์สนามแม่เหล็กที่คั่นผ่านลวดทองแดงที่ใช้ต่อตัวเก็บประจุแต่ละตัว.	81
3.29 การต่อตัวเก็บประจุบนแผ่นทองแดงสองแผ่น.....	82
3.30 กราฟกำลังสูญเสียในแกนเฟอร์ไรต์ต่อน้ำหนักกับความถี่.....	85
3.31 แสดงวงจรควบคุมการปิด - เปิดเครื่อง.....	92
3.32 แสดงวงจรป้องกันกระแสเกิน.....	93
3.33 แสดงวงจรป้องกันแรงดันเกินและต่ำกว่าพิกัด.....	94
3.34 แสดงการต่อวงจรป้องกันอุณหภูมิเกิน.....	95
4.1 แสดงรูปคลื่นของกระแสและแรงดันด้านปฐมภูมิของหม้อแปลงขับนำเบส ของทรานซิสเตอร์ Q_1 ที่ความถี่ 19.5 กิโลเฮิรตซ์.....	97
4.2 แสดงรูปคลื่นของกระแสและแรงดันด้านปฐมภูมิของหม้อแปลงขับนำเบส ของทรานซิสเตอร์ Q_1 ที่ความถี่ 21 กิโลเฮิรตซ์.....	97

สารบัญภาพ (ต่อ)

รูปที่	หน้า
4.3 แสดงรูปคลื่นของกระแสและแรงดันด้านปฐมภูมิของหม้อแปลงขั้วนำเบสของทรานซิสเตอร์ Q_1 ที่ความถี่ 22.5 กิโลเฮิรตซ์	98
4.4 แสดงรูปคลื่นของกระแสและแรงดันด้านทุติยภูมิของหม้อแปลงขั้วนำเบสของทรานซิสเตอร์ Q_1 ที่ความถี่ 19.5 กิโลเฮิรตซ์	99
4.5 แสดงรูปคลื่นของกระแสและแรงดันด้านทุติยภูมิของหม้อแปลงขั้วนำเบสของทรานซิสเตอร์ Q_1 ที่ความถี่ 21 กิโลเฮิรตซ์	100
4.6 แสดงรูปคลื่นของกระแสและแรงดันด้านทุติยภูมิของหม้อแปลงขั้วนำเบสของทรานซิสเตอร์ Q_1 ที่ความถี่ 22.5 กิโลเฮิรตซ์	100
4.7 แสดงรูปคลื่นของกระแสเบสและแรงดันเบส-อิมิตเตอร์ของวงจรขั้วนำเบสของทรานซิสเตอร์ Q_1 ที่ความถี่ 19.5 กิโลเฮิรตซ์	101
4.8 แสดงรูปคลื่นของกระแสเบสและแรงดันเบส-อิมิตเตอร์ของวงจรขั้วนำเบสของทรานซิสเตอร์ Q_1 ที่ความถี่ 21 กิโลเฮิรตซ์	102
4.9 แสดงรูปคลื่นของกระแสเบสและแรงดันเบส-อิมิตเตอร์ของวงจรขั้วนำเบสของทรานซิสเตอร์ Q_1 ที่ความถี่ 22.5 กิโลเฮิรตซ์	102
4.10 แสดงรูปคลื่นของแรงดันคร่อมทรานซิสเตอร์กำลังและกระแสผ่านทรานซิสเตอร์กำลัง Q_1 ที่ความถี่ 19.5 กิโลเฮิรตซ์.....	104
4.11 แสดงรูปคลื่นของแรงดันคร่อมทรานซิสเตอร์กำลังและกระแสผ่านทรานซิสเตอร์กำลัง Q_1 ที่ความถี่ 21 กิโลเฮิรตซ์.....	104
4.12 แสดงรูปคลื่นของแรงดันคร่อมทรานซิสเตอร์กำลังและกระแสผ่านทรานซิสเตอร์กำลัง Q_1 ที่ความถี่ 22.5 กิโลเฮิรตซ์.....	105
4.13 แสดงรูปคลื่นของกระแสและแรงดันด้านปฐมภูมิของหม้อแปลงลดระดับแรงดัน ที่ความถี่ 19.5 กิโลเฮิรตซ์.....	106
4.14 แสดงรูปคลื่นของกระแสและแรงดันด้านปฐมภูมิของหม้อแปลงลดระดับแรงดัน ที่ความถี่ 21 กิโลเฮิรตซ์.....	106
4.15 แสดงรูปคลื่นของกระแสและแรงดันด้านปฐมภูมิของหม้อแปลงลดระดับแรงดัน ที่ความถี่ 22.5 กิโลเฮิรตซ์.....	107
4.16 แสดงรูปคลื่นของกระแสและแรงดันด้านทุติยภูมิของหม้อแปลงลดระดับแรงดันที่ความถี่ 19.5 กิโลเฮิรตซ์.....	107

สารบัญภาพ (ต่อ)

รูปที่	หน้า
4.17 แสดงรูปคลื่นของกระแสและแรงดันด้านทุติยภูมิของหม้อแปลง ลดระดับแรงดันที่ความถี่ 21 กิโลเฮิร์ตซ์.....	108
4.18 แสดงรูปคลื่นของกระแสและแรงดันด้านทุติยภูมิของหม้อแปลง ลดระดับแรงดันที่ความถี่ 22.5 กิโลเฮิร์ตซ์.....	108
4.19 แสดงรูปคลื่นของกระแสและแรงดันของตัวเก็บประจุที่ใช้ในการ เพิ่มค่าตัวประกอบกำลังที่ความถี่ 19.5 กิโลเฮิร์ตซ์.....	109
4.20 แสดงรูปคลื่นของกระแสและแรงดันของตัวเก็บประจุที่ใช้ในการ เพิ่มค่าตัวประกอบกำลังที่ความถี่ 21 กิโลเฮิร์ตซ์.....	110
4.21 แสดงรูปคลื่นของกระแสและแรงดันของตัวเก็บประจุที่ใช้ในการ เพิ่มค่าตัวประกอบกำลังที่ความถี่ 22.5 กิโลเฮิร์ตซ์.....	110
4.22 แสดงรูปคลื่นของกระแสและแรงดันของขดลวดเหนี่ยวนำ ที่ความถี่ 19.5 กิโลเฮิร์ตซ์.....	111
4.23 แสดงรูปคลื่นของกระแสและแรงดันของขดลวดเหนี่ยวนำ ที่ความถี่ 21 กิโลเฮิร์ตซ์.....	112
4.24 แสดงรูปคลื่นของกระแสและแรงดันของขดลวดเหนี่ยวนำ ที่ความถี่ 22.5 กิโลเฮิร์ตซ์.....	112
4.25 แสดงรูปคลื่นของแรงดันไฟสลับ v_{ac} และกระแสไฟสลับ i_{ac} เฟส R เมื่ออินเวอร์เตอร์ทำงานที่ความถี่ 19.5 กิโลเฮิร์ตซ์.....	113
4.26 แสดงรูปคลื่นของแรงดันไฟสลับ v_{ac} และกระแสไฟสลับ i_{ac} เฟส R เมื่ออินเวอร์เตอร์ทำงานที่ความถี่ 21 กิโลเฮิร์ตซ์.....	114
4.27 แสดงรูปคลื่นของแรงดันไฟสลับ v_{ac} และกระแสไฟสลับ i_{ac} เฟส R เมื่ออินเวอร์เตอร์ทำงานที่ความถี่ 22.5 กิโลเฮิร์ตซ์.....	114
4.28 แสดงรูปคลื่นของแรงดันไฟตรง v_{dc} และกระแสไฟตรง i_{dc} เมื่ออินเวอร์เตอร์ทำงานที่ความถี่ 19.5 กิโลเฮิร์ตซ์.....	115
4.29 แสดงรูปคลื่นของแรงดันไฟตรง v_{dc} และกระแสไฟตรง i_{dc} เมื่ออินเวอร์เตอร์ทำงานที่ความถี่ 21 กิโลเฮิร์ตซ์.....	115
4.30 แสดงรูปคลื่นของแรงดันไฟตรง v_{dc} และกระแสไฟตรง i_{dc} เมื่ออินเวอร์เตอร์ทำงานที่ความถี่ 22.5 กิโลเฮิร์ตซ์.....	116